

## Određivanje bezmasne suhe tvari sirutke pomoću točke ledišta regresijom\*

Silva MIŠANOVIC, dipl. inž., »Zdenka« PPI Veliki Zdenci

Stručni rad — Professional Paper

UDK: 637.344

Prispjelo: 10. 4. 1990

### *Sažetak*

*Podaci analiza 40 uzoraka sirutke iz proizvodnje sirišnih sireva korišteni su za izračunavanje regresione jednadžbe za određivanje bezmasne suhe tvari tekuće sirutke.*

*Točka ledišta sirutke određena je digitalnim krioskopom 4D2, Advanced Instruments, Inc. USA, a bezmasna suha tvar aparatom Milko-Scan 133B, Foss Electric, Danska.*

*Statističkom analizom dobivena je slijedeća regresiona jednadžba*

$$Y = 0,2422 - 0,01092x.$$

*Korelacioni koeficijent je -0,958, a standardna greška 1,76%.*

### **Uvod**

Krioskopija je brza, jednostavna i precizna metoda za određivanje koncentracija otopina. U mljekarstvu se najčešće koristi za određivanje količine dodane vode u mlijeko (Đorđević, 1987). Također se može koristiti za određivanje količine soli u salamuri (Wolfschoon — Pombo, 1984) i maslacu (Wolfschoon — Pombo i Da Costa, 1985), te za praćenje procesa enzimskog hidrolize laktoze (Ramet, i sur., 1979) i dr.

Svrha ovog rada je istraživanje mogućnosti korištenja krioskopije kao metode za određivanje količine bezmasne suhe tvari sirutke iz proizvodnje sirišnih sireva.

### **EKSPERIMENTALNI DIO**

#### **Materijal i metode rada**

U radu je analizirano 40 uzoraka obrane sirutke iz redovne proizvodnje polutvrdih i tvrdih sireva.

Količina bezmasne suhe tvari u uzorcima sirutke određena je aparatom Milko-Scan 133 B Foss Electric Denmark.

Točka ledišta uzoraka sirutke određena je digitalnim krioskopom 4D2 Advanced Instruments, Inc. USA.

Statistička obrada rezultata provedena je mikroračunalom ZX Spectrum +. Metodom najmanjih kvadrata izračunata je linearna regresija. Također je izračunata standardna greška regresije i interval pouzdanosti.

\* Referat je održan na XXVIII simpoziju za mljekarsku industriju, Opatija 1990.

### Rezultati i diskusija

**Tablica 1. Količina bezmasne suhe tvari BST (%) i točke ledišta TL (m °H) uzoraka sirutke, te statistička analiza funkcionalnog odnosa ova dva određivanja**

**Table 1. Solids-non-fat SNF (%) and freezing point FP (m °H) of whey and statistic evaluation of functional relation between this two methods**

Uzor. broj	Eksperim. vrijedn.		Izračunate. vrijednosti $Y_k \pm t \cdot SE Y_k$	Samp. numb.	Experiment. values		Calculated values $Y_k \pm t \cdot SE Y_k$
	TL x	BST Y			FP x	SNF y	
(1)	(2)	(3)	(4)	(1)	(2)	(3)	(4)
1.	-483	5,52	5,52 ± 0,11	21.	-518	5,78	5,90 ± 0,10
2.	-487	5,54	5,56 ± 0,11	22.	-518	5,88	5,90 ± 0,10
3.	-492	5,63	5,61 ± 0,10	23.	-518	5,94	5,90 ± 0,10
4.	-492	5,65	5,61 ± 0,10	24.	-520	5,95	5,92 ± 0,10
5.	-493	5,59	5,63 ± 0,10	25.	-520	5,95	5,92 ± 0,10
6.	-496	5,71	5,66 ± 0,10	26.	-521	6,01	5,92 ± 0,10
7.	-498	5,67	5,68 ± 0,10	27.	-523	5,90	5,95 ± 0,10
8.	-499	5,73	5,69 ± 0,10	28.	-524	5,89	5,96 ± 0,10
9.	-504	5,77	5,75 ± 0,10	29.	-524	6,00	5,96 ± 0,10
10.	-505	5,70	5,76 ± 0,10	30.	-525	5,92	5,98 ± 0,10
11.	-509	5,86	5,80 ± 0,10	31.	-525	5,98	5,98 ± 0,10
12.	-510	5,86	5,81 ± 0,10	32.	-525	6,02	5,98 ± 0,10
13.	-511	5,84	5,82 ± 0,10	33.	-529	6,01	6,02 ± 0,10
14.	-512	5,73	5,83 ± 0,10	34.	-530	6,03	6,03 ± 0,10
15.	-512	5,83	5,83 ± 0,10	35.	-530	6,13	6,03 ± 0,10
16.	-513	5,86	5,84 ± 0,10	36.	-531	6,05	6,04 ± 0,10
17.	-514	5,80	5,86 ± 0,10	37.	+534	6,07	6,07 ± 0,10
18.	-516	5,82	5,88 ± 0,10	38.	-534	6,14	6,07 ± 0,10
19.	-516	5,84	5,88 ± 0,10	39.	-535	6,06	6,08 ± 0,10
20.	-517	5,91	5,89 ± 0,10	40.	-535	6,07	6,08 ± 0,10

Slika 1. ukazuje na linearu ovisnost između BST i TL. Izračunati koeficijent korelacije  $r = -0,953$  pokazatelj je visoke korelacije između rezultata mjerjenja.

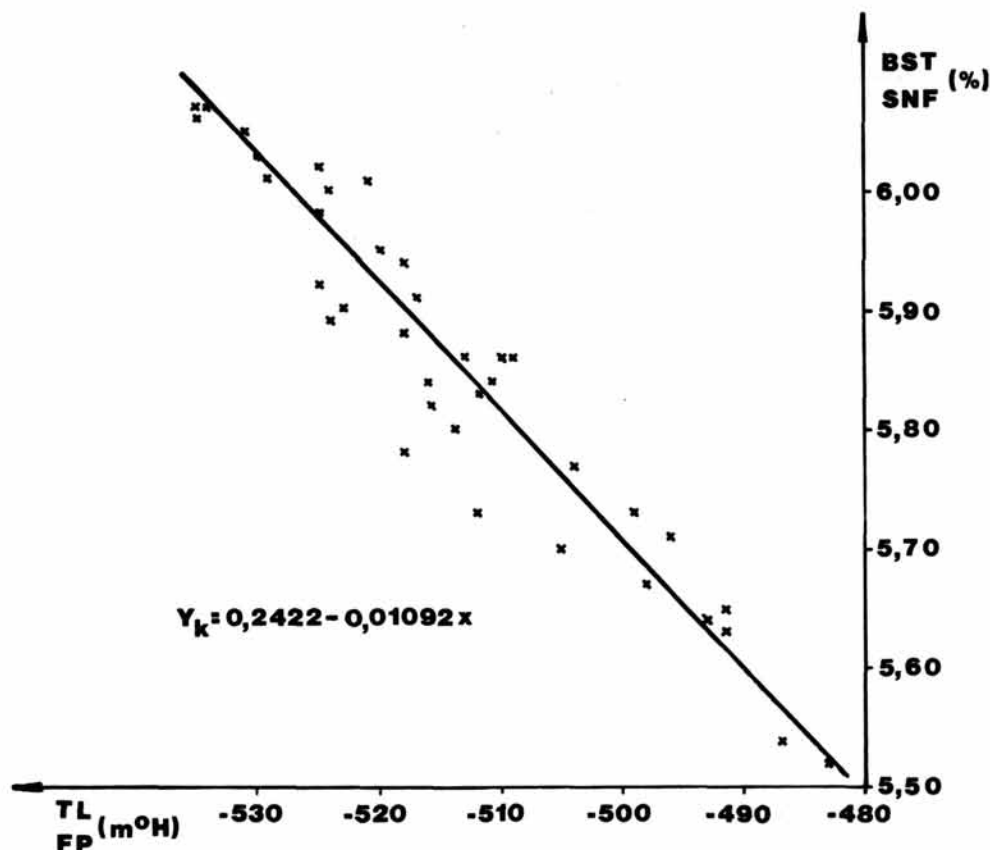
Metodom najmanjih kvadrata dobivena je linearna regresija

$$Y_k = 0,2422 - 0,01092x$$

Izračunate vrijednosti  $Y_k$  sa intervalom pouzdanosti navedene su u tablici 1.

Standardna greška regresije izračunata je korištenjem formule

$$SE Y_k = s \cdot \sqrt{1 + 1/n + (x_k - \bar{x})^2 / \sum (x - \bar{x})^2}$$



Slika 1. Korelacija rezultata određivanja bezmasne suhe tvari (BST) i točke ledišta (TL) sirutke ( $r = -0,953$ )

Figure 1. Correlation of analysis data of solids-non-fat content [SNF] and freezing point [FP] of whey ( $r = -0,953$ )

a interval pouzdanosti na nivou 95% vjerojatnosti

$$Y_k \pm t \cdot SE Y_k$$

gdje je  $Y_k$  — vrijednost izračunata korištenjem regresije

$t$  — vrijednost iz tablica (Student distribucija) za  $n-2$  stupnja slobode uz  $P=0,05$

Greška određivanja iznosi  $\pm 1,76\%$  i može se prihvati za rutinske analize bezmasne suhe tvari.

**Zaključak**

Na osnovi provedenih istraživanja i statističke analize rezultata može se zaključiti da se bezmasna suha tvar sirutke može odrediti pomoću točke leđista, te da standardna greška određivanja iznosi 1,76%.

**ESTIMATION OF SOLIDS-NON-FAT CONTENT OF WHEY BY MEANS OF FREEZING POINT USING REGRESSION****Summary**

*Analysis data of 40 whey samples from rennet cheese production were used calculating regression equation designed for estimation of fluid whey solids-non-fat content.*

*Freezing point of whey was measured on Digimatic Milk Cryoscope 4D2, Advanced Instruments, Inc. USA and solids-non-fat content on Milko-Scan 133B, Foss Electric, Denmark.*

*Statistical evaluation resulted in following regression equation*

$$Y = 0,2422 - 0,01092x.$$

*Correlation coefficient is —0,953 and standard error 1,76%.*

**Literatura**

- Đorđević, J. (1978): Mleko, Naučna knjiga, Beograd.  
Horvatić, M., Vajić, B., Grüner, M. (1980): Milchwissenschaft 35, 31—32.  
Park, K. K., Green, W. C., Rolf, B. W. (1982): Journal of Food Protection 45, 511-512.  
Ramez, J. P., Novak, G., Evers, P. A., Nijpels, H. H. (1979): Le lait LIX, 581-582, 46-55.  
Volfschoon-Pombo A. F. (1984): Milchwissenschaft 39, 328-329.  
Volfschoon-Pombo A. F., Da Costa D. L. S. (1985): Milchwissenschaft 40, 276-278.